

# Cinética Química

Capítulo 4

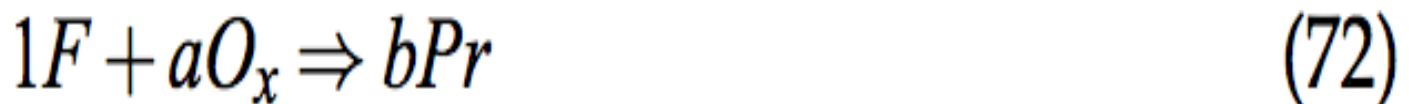
## 4.1 Introdução

- Processos de combustão que não atingem equilíbrio químico
  - Formação de poluentes
  - Ignição e extinção local e global da chama

Problema: Fluidodinâmica  Cinética Química

## 4.2 Reação Global X Elementar

- Reação Global (modelo “caixa preta”)



$$\frac{d}{dt}[X_F] = -k_G(T)[X_f]^n[X_{O_x}]^m \quad (73)$$

[ ]  $\Rightarrow Kmol/m^3$

n, m  $\Rightarrow$  ajuste da curva experimental

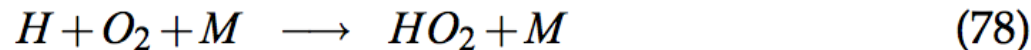
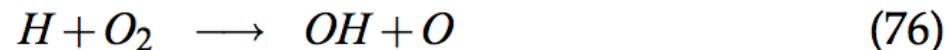
- É improvável *a* moléculas de  $O_x$  colidirem simultaneamente com 1 molécula de combustível, quebrar ligações e construir as novas que formam os produtos.

**ex:** global



# Reações Elementares

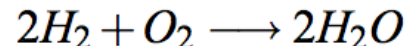
Reações elementares:



Espécies intermediárias ou radicais:

$HO_2$ ,  $H$ ,  $OH$ ,  $O$ , (Elétrons desbalanceados)

# Competição entre Reações Elementares

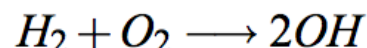


- Quebra 4 lig.
- Forma 4 lig.



- Quebra 1 lig.
- Forma 1 lig.

$HO_2$  "ganha" de  $OH$  pois:



- Quebra 2 lig.
- Forma 2 lig.

H de eq.(75) reage com  $O_2$  eq.(76) e forma dois novos radicais  $OH$  e  $O$ ,  
 $OH$  reage com  $H_2$  e forma o produto  $H_2O$

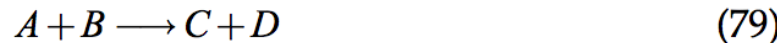
# Reações Elementares

- Descrição completa do Sistema H<sub>2</sub>-O<sub>2</sub> contém mais de 20 reações

# 4.3 Taxa de Reação Elementar

- Reações Bimoleculares

duas moléculas colidem, reagem e formam duas moléculas diferentes.



A taxa na qual a reação se processa é proporcional às concentrações dos reagentes:

$$\frac{d}{dt}[A] = -k_{bimolec}[A][B]$$

↓  
definido a partir da teoria  
das colisões moleculares  
 $\left[ \frac{m^3}{Kmol \cdot s} \right]$

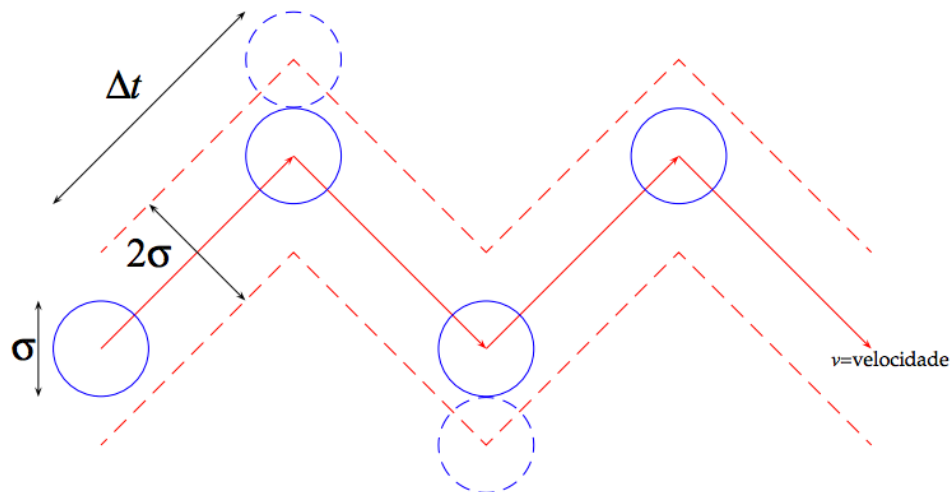
(80)

- Segunda Ordem Global:

$$[A]^m \cdot [B]^n = [A]^1[B]^1$$

$$m + n = 2$$

# Taxa de reação e colisões moleculares



- Volume "Raspado":

$$v \frac{\pi}{4} (2\sigma)^2 \Delta t = v \pi \sigma^2 \Delta t$$

- Densidade de moléculas distribuídas randomicamente:

$$\frac{n}{V_{tot}}$$

# Colisões Moleculares

- Número de colisões da molécula em movimento, por unidade de tempo:

$$Z \equiv \frac{\text{colisões}}{\text{tempo}} = \frac{n}{V_{tot}} \cdot \frac{v\pi\sigma^2\Delta t}{\Delta t} = \frac{n}{V_{tot}} v\pi\sigma^2 \quad (81)$$

- Da teoria cinética dos gases:

$$\bar{v} = \left( \frac{8k_B T}{\pi m_A} \right)^{1/2} \quad (82)$$

( $k_B$ = constante de Boltzmann)

Freqüência de colisões:

$$Z_c = \sqrt{2} \left( \frac{n}{V} \right) \pi \sigma^2 \bar{v} \quad (83)$$

# Colisões Moleculares

- Para moléculas diferentes A e B

$$2\sigma_{AB} = \sigma_A + \sigma_B$$

$$Z_c = \sqrt{2} \left( \frac{n_B}{V} \right) \pi \sigma_{AB}^2 \bar{v}_A \quad (84)$$

Freqüencia de colisão de uma única molécula A com todas as moléculas B

# Colisões Moleculares

- Número total de colisões por unidade de tempo e volume, ou seja Eq. 84 x  $(n_A/V)$ :

$$\frac{Z_{AB}}{V} = \left(\frac{n_A}{V}\right) \left(\frac{n_B}{V}\right) \pi \sigma_{AB}^2 (\bar{v}_A^2 + \bar{v}_B^2)^{1/2} \quad (85)$$

$$\frac{Z_{AB}}{V} = \left(\frac{n_A}{V}\right) \left(\frac{n_B}{V}\right) \pi \sigma_{AB}^2 \left(\frac{8k_B T}{\pi \mu}\right)^{1/2} \quad (14a)$$

$$\mu = \frac{m_A m_B}{m_A + m_B}$$

# Colisões Moleculares

- Para relacionar a freqüencia total de colisões com a expressão da taxa de reacao (Eq. 80), faz-se

$$\begin{aligned}-\frac{d}{dt}[A] &= \left( \frac{\text{Nº de colisões A e B}}{\text{unidade tempo e vol.}} \right) (\text{Prob. colisões efetivas}) \left( \frac{Kmol_A}{\text{Nº molecular de A}} \right) \\ -\frac{d}{dt}[A] &= \left( \frac{Z_{AB}}{V} \right) PN_{AV}^{-1}\end{aligned}\quad (86)$$

$N_{AV}$ =Nº Avogrado  
P = Probabilidade de colisões efetivas

$$P = \begin{cases} \rightarrow \text{ Energia de ativação } E_a \\ \rightarrow \text{ Steric factor p (fator geométrico da molécula)} \end{cases}$$

# Colisões Moleculares

- Então com  $n_A/V = [A]/N_{AV}$  e  $n_B V = [B]/N_{AV}$  a Eq. 86 torna-se

$$-\frac{d}{dt}[A] = PN_{AV}^{+1} \sigma_{AB}^2 \left[ \frac{8\pi k_B T}{\mu} \right]^{1/2} \exp \left[ -\frac{E_a}{R_u T} \right] [A][B] \quad (87)$$

- Comparando-se com a Eq. 80 tem-se:

$$k(T) = PN_{AV} \sigma_{AB}^2 \left[ \frac{8\pi k_B T}{\mu} \right]^{1/2} \exp \left[ -\frac{E_a}{R_u T} \right] \quad (88)$$

# Colisões Moleculares X Arrhenius

Teoria das colisões não é suficiente para determinar  $E_a$  e  $P$

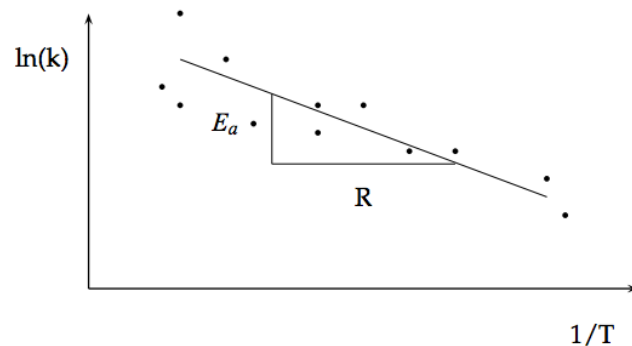
Então, usa-se a expressão empírica de ARRHENIUS:

$$k(T) = A \exp\left(-\frac{E_a}{R_u T}\right) \quad (89)$$

A = Fator pré-exponencial

Ajuste com dados experimentais:

$$k(T) = AT^b \exp\left(-\frac{E_a}{R_u T}\right)$$



# Outras Reações Elementares

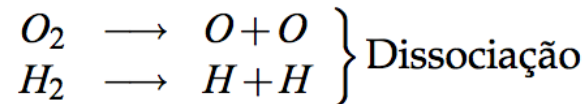
- Unimolecular



ou



ex:



## Taxas

- A alta pressão:

$$\frac{d}{dt}[A] = -k_{uni}[A] \quad (92)$$

1a. ordem

- A baixa pressão:

$$\frac{d}{dt}[A] = -k[A][M] \quad (93)$$

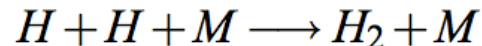
# Outras Reações Elementares

- Termolecular



3a. ordem

ex:



Recombinação

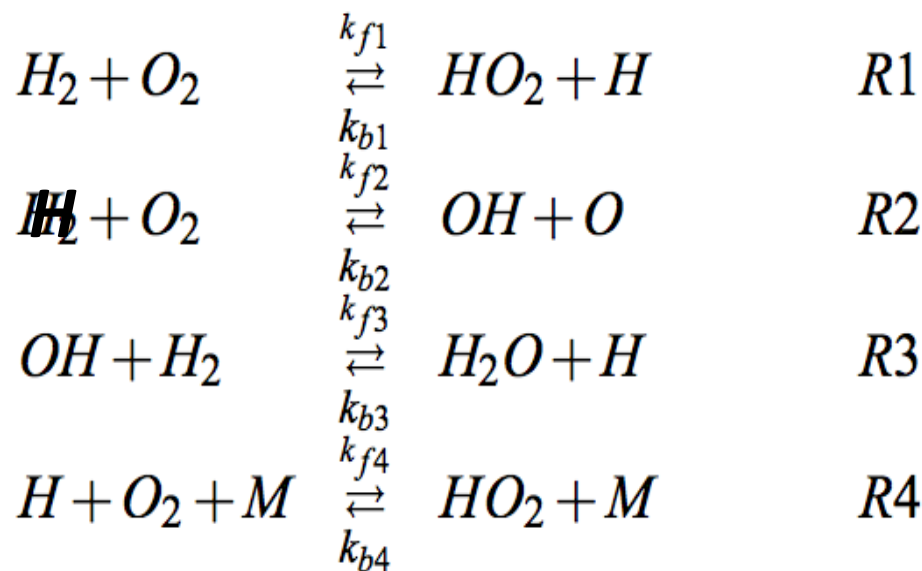
M absorve a energia e evita a dissociação de  $H_2$

## 4.4 Taxas de Reações Elementares Múltiplas etapas

- Sequência de reações elementares
- Taxa de cada reação elementar contribui para a taxa líquida de produção/consumo de uma determinada espécie química

## 4.4 Taxas de Reações Elementares Múltiplas etapas

- Sistema H<sub>2</sub>-O<sub>2</sub>



## 4.4 Taxas de Reações Elementares Múltiplas etapas

- Taxa de Produção líquida de O<sub>2</sub>

$$\begin{aligned}\frac{d}{dt}[O_2] = & k_{b1}[HO_2][H] + k_{b2}[OH][O] \\ & + k_{b4}[HO_2][M] \\ & - k_{f1}[H_2][O_2] - k_{f2}[H][O_2] \\ & - k_{f4}[H][O_2][M]\end{aligned}$$

- Taxa de Produção líquida de H

$$\begin{aligned}\frac{d}{dt}[H] = & k_{f1}[H_2][O_2] + k_{b2}[OH][H] + \\ & k_{f3}[OH][H_2] + k_{b4}[HO_2][M] \\ & - k_{b1}[HO_2][H] - k_{f2}[H][O_2] \\ & - k_{b3}[H_2O][H] - k_{f4}[H][O_2][M]\end{aligned}$$

## 4.4 Taxas de Reações Elementares Múltiplas etapas

- Taxa de Produção líquida de uma espécie ou elemento químico qualquer

$$\frac{d}{dt}[X_i](t) = f_i([X_1](t), [X_2](t), \dots, [X_n](t))$$

condição inicial

$$[X_i](0) = [X_i]_0$$

- Conservação: Massa, Momentum, Energia.
- Equação de estado

Sistema de Eq. Diferenciais Ordinárias de 1<sup>a</sup> Ordem Stiff (Rígido) devido às grandes diferenças nas escalas de tempo.

## 4.5 Notação Compacta

Considere ainda o sistema H<sub>2</sub>-O<sub>2</sub>. Quaquer reação pode ser escrita na forma

$$\sum_{j=1}^N v'_{ji} X_j \Leftrightarrow \sum_{j=1}^N v''_{ji} X_j \quad i = 1, 2, \dots, L \quad (95)$$

N : nº de espécies; L : nº de reações elementares

j: O<sub>2</sub>,H<sub>2</sub>,H<sub>2</sub>O,HO<sub>2</sub>,O,H,OH,M

i: R1,R2,R3,R4

## 4.5 Notação Compacta

Matriz dos coeficientes “reagentes” e “produtos”

$$\begin{aligned} v'_{ji} &= \begin{bmatrix} 1 & 1 & 0 & 0 & 0 & 0 & 0 & 0 \\ 1 & 0 & 0 & 0 & 0 & 1 & 0 & 0 \\ 0 & 1 & 0 & 0 & 0 & 0 & 1 & 0 \\ 1 & 0 & 0 & 0 & 0 & 0 & 1 & 0 \end{bmatrix} \text{em reagentes} \\ v''_{ji} &= \begin{bmatrix} 0 & 0 & 0 & 1 & 0 & 1 & 0 & 0 \\ 0 & 0 & 0 & 0 & 1 & 0 & 1 & 0 \\ 0 & 0 & 1 & 0 & 0 & 1 & 0 & 0 \\ 0 & 0 & 0 & 1 & 0 & 0 & 0 & 1 \end{bmatrix} \text{em produtos} \end{aligned}$$

Taxa da Reação ( $q_i$ ):

$$q_i = k_{fi} \prod_{j=1}^N [X_j]^{v'_{ji}} - k_{bi} \prod_{j=1}^N [X_j]^{v''_{ji}} \quad (96)$$

Taxa de Produção ( $\dot{\omega}_j$ ) da espécie  $j$ :

$$\dot{\omega}_i = \sum_{j=1}^L (v''_{ji} - v'_{ji}) q_i \quad j = 1, 2, \dots, N \quad (97)$$

## 4.6 Coeficientes de Taxa de Reação e Constante de Equilíbrio

- Taxas de cinética química: imprecisão nas medições experimentais
- Equilíbrio Químico: confiável, só depende de propriedades termodinâmicas
- No equilíbrio químico, as taxas diretas e reversas devem ser iguais

# 4.6 Coeficientes de Taxa de Reação e Constante de Equilíbrio

Reação:



Para espécie A:

$$\frac{d}{dt}[A] = -k_f[A][B] + k_b[C][D] \quad (99)$$

No equilíbrio,  $\frac{d}{dt}[A] = 0$  então:

$$\frac{[C][D]}{[A][B]} = \frac{k_f(T)}{k_b(T)} \quad (100)$$

# 4.6 Coeficientes de Taxa de Reação e Constante de Equilíbrio

no capítulo 2, definimos  $K_p$ :

$$K_p = \frac{(P_C/P^\circ)^c(P_D/P^\circ)^d \dots}{(P_A/P^\circ)^a(P_B/P^\circ)^b \dots} \quad (101)$$

concentração molar:

$$[X_i] = x_i P / R_u T = P_i / R_u T \quad (102)$$

Pode-se escrever  $K_p$  como:

$$K_p = K_c (R_u T / P^\circ)^{c+d+\dots-a-b-\dots} \quad (103)$$

ou

$$K_p = K_c (R_u T / P^\circ)^{\sum v'' - \sum v'} \quad (104)$$

onde

$$K_c = \frac{[C]^c[D]^d \dots}{[A]^a[B]^b \dots} = \frac{\prod_{prod} [X_i]^{v''_i}}{\prod_{reag} [X_i]^{v'_i}} \quad (105)$$

e então:

$$\frac{k_f(T)}{k_b(T)} \equiv K_c(T) \equiv \frac{[C][D]}{[A][B]} \quad (106)$$

## 4.6 Coeficientes de Taxa de Reação e Constante de Equilíbrio

Para reação bimolecular

$$K_c = K_p = \exp\left(-\Delta G_T^\circ / RuT\right) \quad (107)$$

# 4.6 Coeficientes de Taxa de Reação e Constante de Equilíbrio

kinetics.nist.gov/kinetics/ReactionSearch?r0=1333740&r1=7782447&r2=0&r3=0&r4=0&p0=3170830&p1=12385136&p2=0&p3=0&p4=0&expandResults=true& 

## Search Results

$\text{H}_2 + \text{O}_2 \rightarrow \text{HO}_2 + \text{H}\cdot$

**Rate expression:**  $k(T) = A (T/298 \text{ K})^n e^{-E_a/RT}$

**Rate expression units:**

First order:  $\text{s}^{-1}$   
Second order:  $\text{cm}^3/\text{molecule s}$   
Third order:  $\text{cm}^6/\text{molecule}^2 \text{ s}$   
 $R = 8.314472\text{E-}03 \text{ kJ / mole K}$

Energy Units	kJ	Molecular Units	Molecule
Pressure Units	Pa	Temperature Units	K
Base Volume Unit	cm	Reference Temperature	298.0
Evaluation Temperature	298.0		

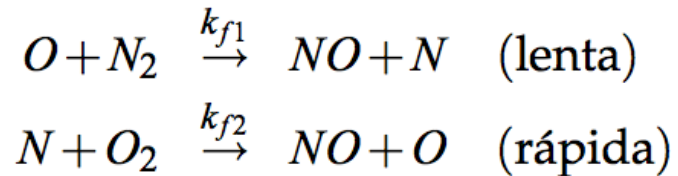
Use the Plot checkboxes to select data for plotting. Plot selected data using the "Create Plot" button. Click the squib to see extra information about a particular rate constant. Additional [help](#) is available.

|  |  2nd order |

Plot	Squib	Temp [K]	A	n	Ea [kJ/mole]	$k(298.00 \text{ K})$	Order
<input type="checkbox"/> 1986TSA/HAM1087	<a href="#">Review</a>	300 - 2500	2.41E-10	237			2
<input type="checkbox"/> 2000MIC/SUT1471-1478	<a href="#">Experiment</a>	1662 - 2097	1.50E-11	190			2
<input type="checkbox"/> 1989KOI2480-2484		1000 - 1400	6.81E-08	285			2

## 4.7 Aproximação de Regime Estacionário

- Simplifica a análise do mecanismo
- Tipicamente usada para radicais
- Reação de formação do intermediário é lenta e a de destruição é rápida, de forma que sua taxa de variação temporal é nula.  
Ex: Mecanismo de Zeldovich para NO



Produção líquida de N:

$$\frac{d[N]}{dt} = k_{f1}[O][N_2] - k_{f2}[N][O_2] \quad (108)$$

## 4.7 Aproximação de Regime Estacionário

com a aproximação de Steady-State:

$$\frac{d[N]}{dt} = 0 = k_{f1}[O][N_2] - k_{f2}[N][O_2] \quad (109)$$

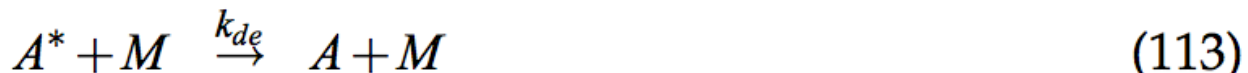
então:

$$[N]_{ss} = \frac{k_{f1}[O][N_2]}{k_{f2}[O_2]} \quad (110)$$

$$\frac{d[N]_{ss}}{dt} = \frac{d}{dt} \left( \frac{k_{f1}[O][N_2]}{k_{f2}[O_2]} \right) \quad (111)$$

## 4.8 Reações unimoleculares – dependência da pressão

Considere o mecanismo:



$$\frac{d[\text{Produtos}]}{dt} = k_{uni}[A^*] \quad (115)$$

$$\frac{d[A^*]}{dt} = k_e[A][M] - k_{de}[A^*][M] - k_{uni}[A^*] \quad (116)$$

Aplicando SS para o intermediário  $A^*$ :

$$\frac{d[A^*]}{dt} = 0 \longrightarrow [A^*]_{ss} = \frac{k_e[A][M]}{k_{de}[M] + k_{uni}} \quad (117)$$

## 4.8 Reações unimoleculares – dependência da pressão

- Substituindo Eq. 117 na Eq. 115, tem-se

$$\frac{d[\text{Produtos}]}{dt} = \frac{k_{uni}k_e[A][M]}{k_{de}[M] + k_{uni}} = \frac{k_e[A][M]}{\frac{k_{de}}{k_{uni}}[M] + 1} \quad (118)$$

- Para uma reação GLOBAL:



$$-\frac{d[A]}{dt} = \frac{d[\text{Produtos}]}{dt} = k_{app}[A] \quad (120)$$

- $k$  aparente da reação GLOBAL:

$$k_{app} = \frac{k_e[M]}{\frac{k_{de}}{k_{uni}}[M] + 1} \quad (121)$$

## 4.8 Reações unimoleculares – dependência da pressão

$$P \uparrow, \underbrace{[M]}_{\left[ \frac{\text{Kmol}}{\text{m}^3} \right]} \uparrow$$

então a altas pressões, o termo com  $[M]$  domina e no limite tem-se:

$$k_{app}(P \rightarrow \infty) = \underbrace{\frac{k_e k_{uni}}{k_{de}}}_{\text{independiente de } [M]} \quad (122)$$

a baixas pressões

$$\frac{k_{de}[M]}{k_{uni}} \ll 1$$

e

$$k_{app}(P \rightarrow 0) = \underbrace{k_e[M]}_{\text{depende de } [M]} \quad (123)$$

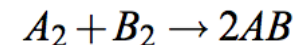
## 4.9 Reações em cadeia e de ramificação

- Reação em cadeia:

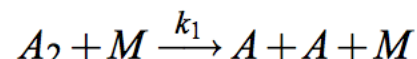
Uma reação elementar produz um radical, que, em outra reação subsequente, produz um novo radical até que uma reação recombina o radical tornando-o uma espécie estável

# 4.9 Reações em cadeia e de ramificação

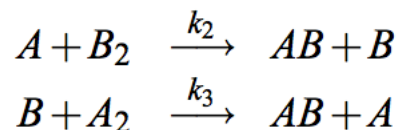
- Mecanismo hipotético GLOBAL



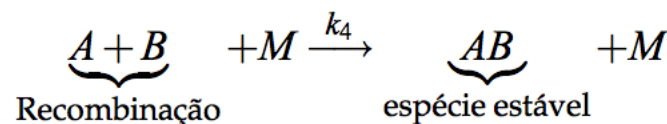
Reação iniciadora da cadeia:



Reação propagadora da cadeia:



Reação terminal da cadeia:



## 4.9 Reações em cadeia e de ramificação

- Taxas líquidas

$$\frac{d[A_2]}{dt}, \quad \frac{d[B_2]}{dt}, \quad \frac{d[AB]}{dt}$$

Steady-state para A e B —> Análise de sensibilidade

## 4.9 Reações em cadeia e de

reverse reactions to determine  
the reaction stage:

$$\frac{d[A_2]}{dt} = -k_1[A_2][M] - k_3[A_2][B]$$

$$\frac{d[B_2]}{dt} = -k_2[B_2][A]$$

$$\frac{d[AB]}{dt} = k_2[A][B_2] + k_3[B][A_2] + k_4[A][B][M].$$

For radicals A and B, the steady-state approximation is inv

# 4.9 Reações em cadeia e de

BLE 4.2

fect of initiation-step rate coefficient  $k_1$

Parameter	1	1	1	1	1
Initiation-step rate coefficient $k_1$	<b>0.001</b>	<b>0.01</b>	<b>0.1</b>	<b>1</b>	<b>10</b>
Propagation rate coefficient $k_2$	1000	1000	1000	1000	1000
Termination rate coefficient $k_3$	1000	1000	1000	1000	1000
Termination rate coefficient $k_4$	10	10	10	10	10
$[A_2]$ Concentration	1	1	1	1	1
$[B_2]$ Concentration	1	1	1	1	1
$[M]$ Concentration	2	2	2	2	2
$[A]$ Concentration	1.00000E-6	1.00000E-5	1.00000E-4	0.00100000	0.01000099
$[B]$ Concentration	9.9999999E-7	9.9999990E-6	9.9999900E-5	9.9999000E-4	0.0099990000
$d[A_2]/dt$	-0.002999999	-0.029999999	-0.299999899	-2.999990000	-29.99900000
$d[B_2]/dt$	-0.0010000	-0.0100000	-0.100001	-1.0000100	-10.001000
$d[AB]/dt$	0.0020000000	0.020000002	0.2000002	2.0000200000	20.002000000

# 4.9 Reações em cadeia e de

TABLE 4.3  
Effect of chain-propagating-steps rate coefficients  $k_2$  and  $k_3$

Pressure	1	1	1	1	1	1	1
Rate coefficient $k_1$	1	1	1	1	1	1	1
<b>Rate coefficient <math>k_2</math></b>	<b>100</b>	<b>500</b>	<b>1000</b>	<b>5000</b>	<b>10,000</b>	<b>50,000</b>	<b>100,000</b>
<b>Rate coefficient <math>k_3</math></b>	<b>100</b>	<b>500</b>	<b>1000</b>	<b>5000</b>	<b>10,000</b>	<b>50,000</b>	<b>100,000</b>
Rate coefficient $k_4$	10	10	10	10	10	10	10
[A <sub>2</sub> ] Concentration	1	1	1	1	1	1	1
[B <sub>2</sub> ] Concentration	1	1	1	1	1	1	1
[M] Concentration	2	2	2	2	2	2	2
[A] Concentration	0.01000999	0.00200007	0.00100000	2.00000E-4	1.00000E-4	2.00000E-5	1.00000E-5
[B] Concentration	0.0099900000	0.0019999200	9.9999000E-4	1.9999992E-4	9.9999990E-5	2.0000000E-5	1.0000000E-5
d[A <sub>2</sub> ]/dt	-2.999000001	-2.999960000	-2.999990000	-2.999999600	-2.999999900	-2.999999996	-2.999999999
d[B <sub>2</sub> ]/dt	-1.0010000	-1.0000400	-1.0000100	-1.0000004	-1.0000001	-1.0000000	-1.0000000
d[AB]/dt	2.0019999980	2.0000800000	2.0000200000	2.0000008	2.0000002	2.000000008	2.0000000002

# 4.9 Reações em cadeia e de

TABLE 4.5  
Effect of chain-termination-step rate coefficient  $k_4$  at low pressure

Pressure	1	1	1	1	1	1	1
Rate coefficient $k_1$	1	1	1	1	1	1	1
Rate coefficient $k_2$	1000	1000	1000	1000	1000	1000	1000
Rate coefficient $k_3$	1000	1000	1000	1000	1000	1000	1000
Rate coefficient $k_4$	0.001	0.01	0.1	1	10	100	1000
[A <sub>2</sub> ] Concentration	1	1	1	1	1	1	1
[B <sub>2</sub> ] Concentration	1	1	1	1	1	1	1
[M] Concentration	2	2	2	2	2	2	2
[A] Concentration	0.000100000	0.000100000	0.000100000	0.000100000	0.000100000	0.000100000	0.000100000
[B] Concentration	1.0000000E-3	9.9999999E-4	9.9999999E-4	9.9999999E-4	9.9999999E-4	9.9999999E-4	9.9999999E-4
d[A <sub>2</sub> ]/dt	-2.999999999	-2999999990	-2.999999990	-2.999999990	-2.999999990	-2.999999990	-2.999999990
d[B <sub>2</sub> ]/dt	-1.0000000	-1.0000000	-1.0000000	-1.0000000	-1.0000000	-1.0000000	-1.0000000
d[AB]/dt	2.00000002	2.00000002	2.00000002	2.00000002	2.00000002	2.00000002	2.00000002

# 4.9 Reações em cadeia e de

TABLE 4.4  
Effect of pressure

pressure	0.1	0.5	1	5	10
Rate coefficient $k_1$	1	1	1	1	1
Rate coefficient $k_2$	1000	1000	1000	1000	1000
Rate coefficient $k_3$	1000	1000	1000	1000	1000
Rate coefficient $k_4$	10	10	10	10	10
$[A_2]$ Concentration	0.1	0.5	1	5	10
$[B_2]$ Concentration	0.1	0.5	1	5	10
$[M]$ Concentration	0.2	1	2	10	20
$[A]$ Concentration	1.00000E-4	5.00002E-4	0.00100000	0.00500024	0.01000099
$[B]$ Concentration	9.9999900E-5	4.9999750E-4	9.9999000E-4	0.0049997500	0.0099990000
$d[A_2]/dt$	-0.029999989	-0.749998750	-2.999990000	-74.99875000	-299.9900000
$d[B_2]/dt$	-0.0100000	-0.2500012	-1.0000100	-25.001250	-100.01000
$d[AB]/dt$	0.02000002	0.5000024999	2.0000200000	50.002500000	200.02000000

TABLE 4.5

Effect of chain-termination-step rate coefficient  $k_4$  at low pressure

Pressure	1	1	1	1	1	1	1
Rate coefficient $k_1$	1	1	1	1	1	1	1
Rate coefficient $k_2$	1000	1000	1000	1000	1000	1000	1000
Rate coefficient $k_3$	1000	1000	1000	1000	1000	1000	1000
Rate coefficient $k_4$	0.001	0.01	0.1	1	10	100	1000
[A <sub>2</sub> ] Concentration	1	1	1	1	1	1	1
[B <sub>2</sub> ] Concentration	1	1	1	1	1	1	1
[M] Concentration	2	2	2	2	2	2	2
[A] Concentration	0.00100000	0.00100000	0.00100000	0.00100000	0.00100000	0.00100009	0.00100099
[B] Concentration	1.0000000E-3	9.9999999E-4	9.9999990E-4	9.9999900E-4	9.9999000E-4	9.9990000E-4	9.9900000E-4
d[A <sub>2</sub> ]/dt	-2.99999999	-299999990	-2.999999900	-2.999999000	-2.999990000	-2.999900000	-2.999000001
d[B <sub>2</sub> ]/dt	-1.0000000	-1.0000000	-1.0000001	-1.0000010	-1.0000100	-1.0001000	-1.0010000
d[AB]/dt	2.00000002	2.00000002	2.0000002	2.000002	2.0000200000	2.000200000	2.0019999980

TABLE 4.5  
Effect of chain-termination-step rate coefficient  $k_4$  at low pressure

Pressure	1	1	1	1	1	1	1
Rate coefficient $k_1$	1	1	1	1	1	1	1
Rate coefficient $k_2$	1000	1000	1000	1000	1000	1000	1000
Rate coefficient $k_3$	1000	1000	1000	1000	1000	1000	1000
Rate coefficient $k_4$	0.001	0.01	0.1	1	10	100	1000
[A <sub>2</sub> ] Concentration	1	1	1	1	1	1	1
[B <sub>2</sub> ] Concentration	1	1	1	1	1	1	1
[M] Concentration	2	2	2	2	2	2	2
[A] Concentration	0.00100000	0.00100000	0.00100000	0.00100000	0.00100000	0.00100000	0.00100000
[B] Concentration	1.000000E-3	9.999999E-4	9.999999E-4	9.999999E-4	9.999999E-4	9.999999E-4	9.999999E-4
d[A <sub>2</sub> ]/dt	-2.99999999	-2.99999990	-2.99999990	-2.99999990	-2.99999990	-2.99999990	-2.99999990
d[B <sub>2</sub> ]/dt	-1.00000000	-1.00000000	-1.00000000	-1.00000000	-1.00000000	-1.00000000	-1.00000000
d[AB]/dt	2.00000002	2.00000002	2.00000002	2.00000002	2.00000002	2.00000002	2.00000002

TABLE 4.6  
Effect of chain-termination-step rate coefficient  $k_4$  at high pressure

Pressure	100,000	100,000	100,000	100,000	100,000	100,000	100,000
Rate coefficient $k_1$	1	1	1	1	1	1	1
Rate coefficient $k_2$	1000	1000	1000	1000	1000	1000	1000
Rate coefficient $k_3$	1000	1000	1000	1000	1000	1000	1000
<b>Rate coefficient <math>k_4</math></b>	<b>0.001</b>	<b>0.01</b>	<b>0.1</b>	<b>1</b>	<b>10</b>	<b>100</b>	<b>1000</b>
[A <sub>2</sub> ] Concentration	100,000	100,000	100,000	100,000	100,000	100,000	100,000
[B <sub>2</sub> ] Concentration	100,000	100,000	100,000	100,000	100,000	100,000	100,000
[M] Concentration	200,000	200,000	200,000	200,000	200,000	200,000	200,000
[A] Concentration	100.010000	100.100000	100.999900	109.901951	161.803399	195.124922	199.501250
[B] Concentration	99.990000000	99.900000100	99.000099980	90.098048641	38.196601125	4.8750780275	0.4987500078
d[A <sub>2</sub> ]/dt	-2.99990E + 10	-2.99900E + 10	-2.99000E + 10	-2.90098E + 10	-2.38197E + 10	-2.04875E + 10	-2.00499E + 10
d[B <sub>2</sub> ]/dt	-1.000E + 10	-1.001E + 10	-1.010E + 10	-1.099E + 10	-1.618E + 10	-1.951E + 10	-1.995E + 10
d[AB]/dt	2.000200E + 10	2.002000E + 10	2.019998E + 10	2.198039E + 10	3.236068E + 10	3.902498E + 10	3.990025E + 10

**TABLE 4.4**  
**Effect of pressure**

Pressure	0.1	0.5	1	5	10	50
Rate coefficient $k_1$	1	1	1	1	1	1
Rate coefficient $k_2$	1000	1000	1000	1000	1000	1000
Rate coefficient $k_3$	1000	1000	1000	1000	1000	1000
Rate coefficient $k_4$	10	10	10	10	10	10
[A <sub>2</sub> ] Concentration	0.1	0.5	1	5	10	50
[B <sub>2</sub> ] Concentration	0.1	0.5	1	5	10	50
[M] Concentration	0.2	1	2	10	20	100
[A] Concentration	1.00000E-4	5.00002E-4	0.00100000	0.00500024	0.01000099	0.05002499
[B] Concentration	9.9999900E-5	4.9999750E-4	9.9999000E-4	0.0049997500	0.0099990000	0.0499750000
d[A <sub>2</sub> ]/dt	-0.029999989	-0.749998750	-2.999990000	-74.99875000	-299.99000000	-7,498.75000
d[B <sub>2</sub> ]/dt	-0.0100000	-0.2500012	-1.0000100	-25.001250	-100.01000	-2,501.250
d[AB]/dt	0.02000002	0.5000024999	2.0000200000	50.002500000	200.02000000	5,002.499999

**TABLE 4.2**  
**Effect of initiation-step rate coefficient  $k_1$**

Pressure	1	1	1	1	1
<b>Rate coefficient <math>k_1</math></b>	<b>0.001</b>	<b>0.01</b>	<b>0.1</b>	<b>1</b>	<b>10</b>
Rate coefficient $k_2$	1000	1000	1000	1000	1000
Rate coefficient $k_3$	1000	1000	1000	1000	1000
Rate coefficient $k_4$	10	10	10	10	10
[A <sub>2</sub> ] Concentration	1	1	1	1	1
[B <sub>2</sub> ] Concentration	1	1	1	1	1
[M] Concentration	2	2	2	2	2
[A] Concentration	1.00000E-6	1.00000E-5	1.00000E-4	0.00100000	0.01000099
[B] Concentration	9.999999E-7	9.999999E-6	9.999990E-5	9.999900E-4	0.0099990000
d[A <sub>2</sub> ]/dt	-0.002999999	-0.029999999	-0.299999899	-2.9999900000	-29.999000000
d[B <sub>2</sub> ]/dt	-0.0010000	-0.0100000	-0.1000001	-1.0000100	-10.001000
d[AB]/dt	0.0020000000	0.020000002	0.2000002	2.0000200000	20.002000000